

Introducción AdS/CFT

lunes 2020

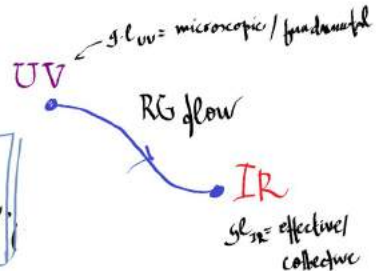
- Plan:
1. AdS
 2. CFT
 3. AdS/CFT
 4. Wilson loops

Refs:

- McGeary, Open Course MIT
- Ramallo, 1310.4319
- Nat summary, 1409.3575
- Freedman - D'Hoker, 0201253
- Kaplan, lectures AdS/CFT
- Malda, TASI 2003 0307246

Motivación:

¿Qué es una QFT?
 (Wilson '70)
 Es estudiar el flujo del grupo de renormalización.



Al estudiar un sistema físico a \neq energías, los g.l. se reorganizan y la descripción efectiva (baja energía) puede resultar en términos de g.l. muy \neq a los que usamos inicialmente para formular la teoría

Ej: QCD
 UV: g.l. quarks y gluones
 IR: g.l. son piones y nucleones n/p
 estados ligados de quarks y gluons

¿Cuál es la QFT más simple?

CFT = QFT que no depende de la escala

Malda '97

$CFT_d = AdS_{d+1}$

" $g_{\text{YM}}^2 = g_{\text{grav}}^2$ "
(su gravedad dinámica)

En términos + graves

Conceptualmente la correspondencia involucra 2 ideas

- Holografía: Aparición de una "geometría holográfica" $Z \leftrightarrow \text{energía}$
- Dualidad: los g.l. para describir el sistema dependen del régimen que me interese estudiar.

Pragmáticamente: la correspondencia provee una herramienta de cálculo que permite estudiar:

fenómenos no perturbativos de teorías gauge (cuánticas) (acoplamiento fuerte) \leftrightarrow teorías de gravedad clásica perturbativa. dualidad

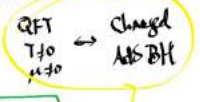
"large N gauge theory" \leftrightarrow "semiclassical" gravity

dominante por saddle point (sin clásica)

$Z_{QFT} = Z_{AdS}$
 $\mathcal{H}_{QFT} = \mathcal{H}_{AdS/CFT}$

los espacios de Hilbert son idénticos

Plan: entender estos statements



Bottom line

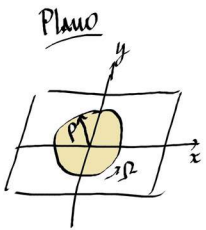
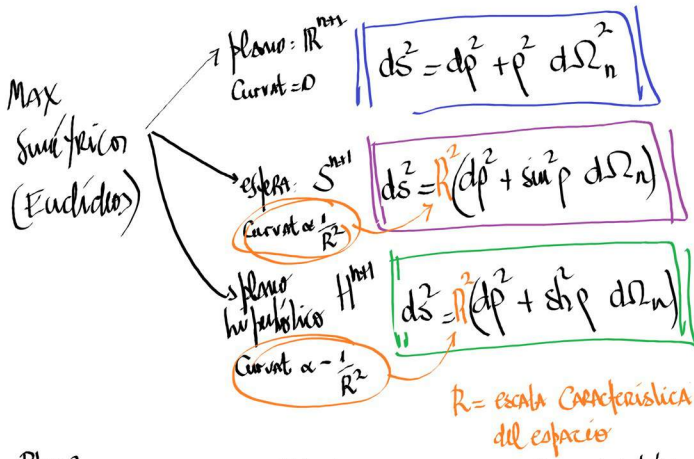
$RG = GR$

de Castro

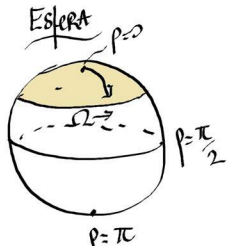
Clase 1 : AdS : anti de Sitter

AdS = espacio MAXIMAMENTE simétrico de curvatura negativa

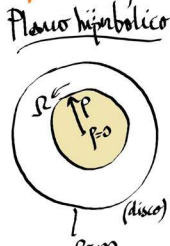
$$R_{\mu\nu} = \Lambda g_{\mu\nu} \quad \Lambda < 0$$



ISO(n+1)



SO(n+2)



SO(n+1, 1)

Signatura Lorentziana:

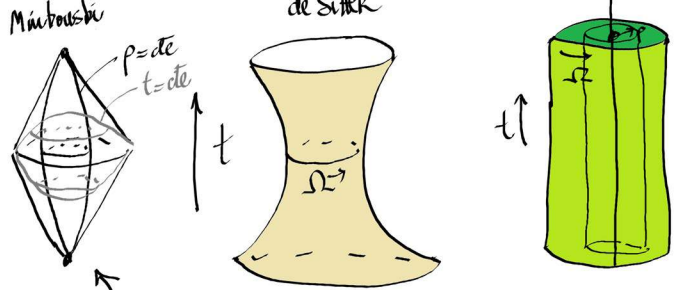
Minkowski: $dS^2 = -dt^2 + dp^2 + p^2 d\Omega_{d-1}^2$ $\mathbb{R}^{1,d}$ ISO(d, 1) $\Lambda = 0$

de Sitter: $dS^2 = L^2 (-dt^2 + d\Omega_d^2)$ dS_{d+1} SO(d+1, 1) $\Lambda > 0$

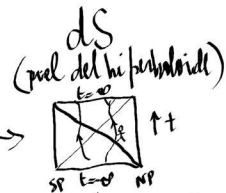
anti de Sitter: $dS^2 = L^2 (-dp^2 + d\Omega_d^2)$ AdS_{d+1} SO(d, 2) $\Lambda < 0$

$\Lambda = -\frac{d(d-1)}{2L^2}$ anti de Sitter

¿Cómo visualizamos estos espacios?



Mink diagrams Penrose (Wald 2005)



En analogía con la esfera, los espacios MAXIMAMENTE simétricos pueden ser entendidos como (hiper-)superficies en un embedding space plano de una dimensión MAS.

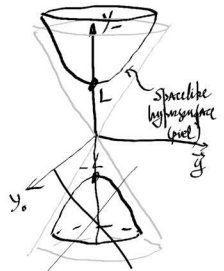
$H^{d+1} = EAdS_{d+1}$ (Euclideo)

$$-y_{-1}^2 + y_0^2 + \vec{y}^2 = -L^2$$

embebido en $\mathbb{R}^{1,d+1}$

$$dS^2 = -dy_{-1}^2 + dy_0^2 + d\vec{y}^2$$

$\vec{y} = (y_1, \dots, y_d)$



Al entenderlo de esta manera, las isometrías del espacio son evidentes $SO(d+1, 1)$ E AdS_{d+1}

AdS_{d+1} (Lorentzian)

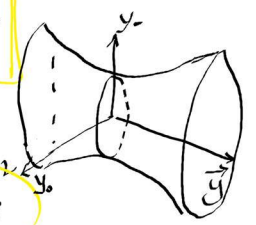
$$-y_{-1}^2 - y_0^2 + \vec{y}^2 = -L^2$$

embebida en $\mathbb{R}^{2,d}$

SO(d, 2) (Riemannian)

$$dS^2 = -dy_{-1}^2 - dy_0^2 + d\vec{y}^2$$

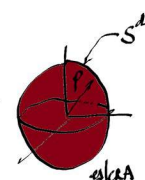
$\vec{y} = (y_1, \dots, y_d)$



Existen \neq maneras de resolver el vínculo (hiperboloides),
 2 sist coord populares $\begin{cases} \text{Poincare} \\ \text{Globales} \end{cases}$

Globales:

$\text{EAdS}_{d+1} \rightarrow y_- = L \text{ch}\tilde{\rho}$
 $(y_0, \vec{y}) = L \text{sh}\tilde{\rho} \vec{n}^i, \vec{n}^i \vec{n}^i = 1$
 $i=0, \dots, d \quad \vec{n} \in \mathbb{R}^{d+1}$

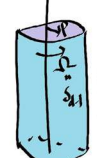


$\Rightarrow ds^2 = L^2 (d\tilde{\rho}^2 + \text{sh}^2 \tilde{\rho} d\Omega_d)$

El borde de AdS $\rightarrow \tilde{\rho} \rightarrow \infty$ $\partial\text{EAdS}_{d+1} = S^d$

$\text{AdS}_{d+1} \rightarrow y_- = L \text{ch}\rho \cos t \rightarrow \vec{y} = L \text{sh}\rho \vec{n}, \vec{n}^2 = 1$
 $y_0 = L \text{ch}\rho \sin t \quad \vec{n} \in \mathbb{R}^d$

$ds^2 = L^2 (-\text{ch}^2 \rho dt^2 + d\rho^2 + \text{sh}^2 \rho d\Omega_{d-1})$



$\partial\text{AdS}_{d+1} = \mathbb{R} \times S^{d-1}$
 (borde $\rho \rightarrow \infty$)

Poincare (horospherical in old lits)

$y_- + y_d = L/z \Rightarrow y_- - y_d = \frac{z}{L} (L^2 + L^2 \frac{x^\mu{}^2}{z^2})$
 $y^\mu = L \frac{x^\mu}{z}$
 $\mu=0, \dots, d-1$

donde $(x^\mu)^2 = \pm(x^0)^2 + (x^1)^2 + \dots + (x^{d-1})^2$
 (dependiendo de curvatura/lorentz signat)

$\text{AdS en Conoid Poincare}$

$ds^2 = L^2 \left(\frac{(dx^\mu)^2 + dz^2}{z^2} \right)$

El borde de AdS corresponde a $z \rightarrow 0$ $\partial\text{AdS}_d = \mathbb{R}^d$

a.k.a \vec{z} : "Coord Radial"
 Coord holografica

En coordenadas de Poincare las isometrías $\text{ISO}(d) \subset \text{SO}(d+1,1)$ (Poinc)
 son explícitas y actúan sobre (hiper)-superficies $\vec{z} = \text{cte}$

$\begin{cases} \vec{z} = \text{cte} \\ x^\mu \rightarrow \tilde{x}^\mu = \Lambda^\mu_\nu x^\nu + a^\mu \end{cases} \rightarrow M_{\mu\nu} \rightarrow P_\mu = \text{ISO}$

$\Lambda = e^{\omega M_{\mu\nu}}$

Existe otra simetría obvia

Dilatación $\begin{cases} x^\mu \rightarrow \lambda x^\mu \\ \vec{z} \rightarrow \lambda \vec{z} \end{cases} \rightarrow D$

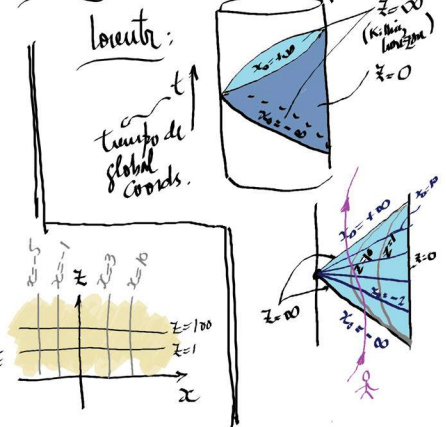
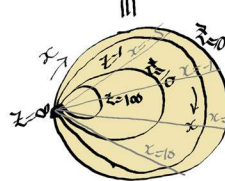
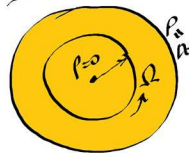
Existe otra (no obvia)

a.k.a Special Conformal $\begin{cases} \vec{z} \rightarrow \tilde{z} = \frac{\vec{z}}{1 + 2b \cdot x + b^2(x^2 + \vec{z}^2)} \\ x \rightarrow \tilde{x}^\mu = \frac{x^\mu + b^\mu(x^2 + \vec{z}^2)}{1 + 2b \cdot x + b^2(x^2 + \vec{z}^2)} \end{cases} \rightarrow K^\mu$

Naturalmente, el álgebra de simetría $\{M_{\mu\nu}, P_\mu, K_\mu, D\} \sim \text{SO}(d+1,1)$
 $\sim \text{SO}(d,2)$
 dependiendo de la signatura

Constr: $\{x^\mu, z\}$ \rightarrow Euclideo: cubren toda la variedad
 Lorentz: solo cubren un pedazo

Euclideo



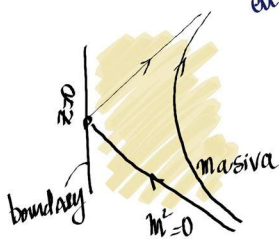
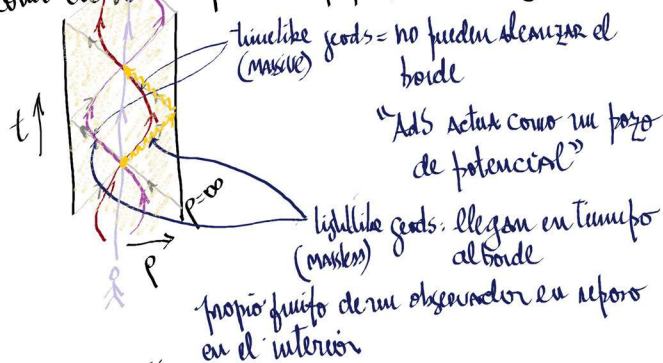
Notas: • En algunas coordenadas
 $t \leftrightarrow x$
 Son \neq nociones de tiempo (recall Schwarzschild)

• Las isometrías de AdS actúan de forma cerrada sobre el borde ($Z=0$), esto es, Mapean puntos del borde a puntos del borde

• La teoría CFT (dual) va a estar definida en el borde.
 $Z=0$ "Binc"
 $r=\infty$ "Glob"

Localización AdS es una caja!

Como en todo espacio tiempo, estudiamos geodésicas



• Decimos que AdS confina las partículas a vivir en el interior (Bulk)

Podemos ver esto cualitativamente

de las métricas:

$$ds^2 = L^2 (-ch^2 pdt^2 + dp^2 + sh^2 p d\Omega^2)$$

$$= - \left(1 + \left(\frac{r}{L}\right)^2\right) dt^2 + \frac{dr^2}{\left(1 + \left(\frac{r}{L}\right)^2\right)} + r^2 d\Omega^2$$

cf Schwarzschild \uparrow
 $1 + 2\phi = 1 - \frac{2GM}{r}$
 $\phi = -\frac{GM}{r}$
 $\Rightarrow \phi \sim -\frac{1}{L^2} r^2 \Rightarrow$

Podemos hacer la afirmación más precisa
 $\text{AdS} = \text{Gravitational} = \text{harmonic}$
 Box potential

Quantificamos una partícula en AdS₂:

$$\text{AdS QM: } \frac{ds^2}{L^2} = -ch^2 dt^2 + dp^2$$

$$\left(\frac{thx}{2} = \frac{thp}{2}\right) = \frac{1}{\cos^2 x} (-dt^2 + dx^2)$$

$x \in (-\pi/2, \pi/2)$

trayectoria $x^\mu(\lambda) = (t(\lambda), x(\lambda))$

• $S = -m \int ds$ fijamos $\lambda = t \Rightarrow \dot{x}^\mu = (1, \dot{x})$
 $\dot{x} = \frac{dx}{dt}$

$$= -m \int d\lambda \sqrt{-g_{\mu\nu}(x) \dot{x}^\mu \dot{x}^\nu}$$

$$= -m \int dt \sqrt{1 - \dot{x}^2} \leftarrow \text{Casi Minkowski excepto por}$$

• $H = pq - L = \sqrt{p^2 + \frac{(mL)^2}{\cos^2 x}}$ se hace muy masiva cerca del borde.

• $[x, p] = i \Rightarrow p = -i\partial_x$

$$i\partial_x \Psi = H \Psi \quad \text{con } H = \sqrt{-\partial_x^2 + \frac{m^2}{\cos^2 x}}$$

• Me molesta la $\sqrt{\quad}$, elevo al cuadrado

$$-\partial_x^2 \Psi = H^2 \Psi = \left(-\partial_x^2 + \frac{(mL)^2}{\cos^2 x}\right) \Psi$$

nothing but

Klein-Gordon eqn $(\square - m^2)\Psi = 0$

• Las simetrías de AdS₂ \rightarrow Killing vectors SO(2,1)

$$H = i\partial_t$$

$$P_1 = i(\sin t \sin x \partial_t - \cos t \cos x \partial_x) \rightarrow [P_2, H] = iP_1$$

$$P_2 = i(\cos t \sin x \partial_t + \sin t \cos x \partial_x) \rightarrow [H, P_1] = iP_2$$

$$[P_1, P_2] = -iH$$

$\Rightarrow J^\pm = P_1 \pm iP_2$
 $[H, J^\pm] = \pm J^\pm$ y $[J^+, J^-] = -2H \Rightarrow J|_{07=0}$
 $m=1 \Rightarrow (J^\pm)^n |0\rangle \Rightarrow E_n = E_0 \pm n$